

**Министерство высшего и среднего специального образования
Р С Ф С Р**

**Ордена Трудового Красного Знамени
Научно-исследовательский радиофизический институт (НИРФИ)**

Препринт № 81.

**АНАЛИЗ УРАВНЕНИЙ АВТОКОЛЕБАТЕЛЬНОЙ
ХИМИЧЕСКОЙ РЕАКЦИИ**

В.Г. Яхно

Горький - 1976 г.

§ 1. Введение.

В настоящее время известен класс однотипных химических реакций, в ходе которых наблюдаются автоколебания и разнообразные волновые процессы [1, 2]. Интерес к таким реакциям вызван тем обстоятельством, что с одной стороны с таких реакциях химические колебания сравнительно легко наблюдаемы, а с другой стороны колебательные процессы в реальных биологических объектах, по-видимому, во многом аналогичны этим "модельным" реакциям.

Теоретическое изучение волновых процессов в колебательных реакциях сталкивается с трудностями двоякого рода. Во-первых, пока еще нет окончательно обоснованной модели для сосредоточенной реакции, во-вторых, математические трудности связанные с решением систем нелинейных уравнений в частных производных часто оказываются непреодолимыми. Тем не менее провести, насколько это возможно, подробный анализ существующей сейчас модели представляется, по-мнению автора, весьма полезным. Это позволит лучше понять те процессы, которые описываются с помощью этой модели и выявить процессы, которые в рамках данной модели не объясняются.

Целью данной работы является расчет некоторых характеристик волновых процессов в распределенной модели автоколебательной химической реакции. В качестве модели здесь взята феноменологическая математическая модель, построенная для реакции окисления

броммалоновой кислоты броматом, катализируемой ионами церия [1, 2]. Построение этой модели проводилось на основе сравнения экспериментальных данных только о длительности импульса, периода и области существования автоколебаний с соответствующими значениями, вычисленными из модели. Расчет и сопоставление процессов, связанных с распространением концентрационных волн в таких реакциях пока никем не проводился. Здесь такие расчеты удается сделать с помощью приближенного метода [3, 4]. При этом получена аналитическая зависимость скорости волны от концентрации исходных веществ, а также определены значения концентраций, при которых возможно распространение волн. Сразу же отметим трудности при сопоставлении расчетов с экспериментальными данными. Дело в том, что рассмотренная модель построена для реакции с церием, а пространственные эффекты наблюдались, преимущественно, в реакциях с ферроином. И хотя сейчас получено хорошее качественное соответствие между теоретическими выводами и экспериментальными фактами, однако полезнее такое сопоставление воспринимать в качестве программы при постановке более целенаправленных, проверочных экспериментов.

§ 2. Математическая модель

Систему уравнений, описывающую кинетику химической реакции, в которой учтена диффузия автокатализатора, запишем в следующем виде [1, 2]

$$\delta \frac{\partial u}{\partial \tau} = \frac{\partial^2 u}{\partial y^2} + f(u, V) \quad \frac{\partial V}{\partial \tau} = \varphi(u, V) \quad (1)$$

$$f(u, V) = u \{ \rho - V(1 + S + (u - \alpha)^2) \} + \varepsilon \quad (2)$$

$$\varphi(u, V) = u(1 - V) - \delta V,$$

где параметры $\varepsilon \ll 1$, α , δ , ρ , S представляют собой некоторые функции от концентраций исходных веществ A [моль/л] – окислителя (в работе [1] – $A = [NaB_2O_3]$), B [моль/л] – восстановителя ($B = [БМК]$) и C [моль/л] – катализатора ($C = [Ce]$); безразмерные переменные V и u характеризуют соответственно концентрацию ионов Ce^{4+} и концентрация автокатализатора; $\tau = A \cdot t$ [моль/л · сек]; $y = X \sqrt{\frac{A}{\rho \varepsilon}}$ [моль^{1/2}/л^{1/2} · сек^{1/2}].

Отметим, что в широкой области параметров система (1) обладает сильными релаксационными свойствами. Поэтому с помощью приближенного метода удается получить основные характеристики системы в виде аналитических формул.

§ 3. Области существования автоколебаний и распространения концентрационных волн.

Рассмотрим возможные режимы в системе в зависимости от вида нелинейных функций $f(u, V)$ и $\varphi(u, V)$. Место пересечения кривых $f(u_p, V_p) = 0$ и $\varphi(u_p, V_p) = 0$ на плоскости (u, V) (см. Рис. 1^a) определяет истинное состояние равновесия.

Как отмечалось в [3], поведение системы в основном зависит от положения u_p и V_p на кривой $f(u, V) = 0$. При этом могут существовать три характерных режима: а) автоколебательный режим; б) режим распространения волн; в) режим, когда волны в

системе распространяться не могут. На Рис. 1^a показаны пять характерных положений точки равновесия. В случаях I и V в системе не могут распространяться концентрационные волны. Любое возмущение будет "схлопываться" и исчезать за конечное время. В случаях II и IV начальное возмущение будет распространяться в виде импульсов возбуждения, после чего система придет в состояние равновесия соответственно либо на нижней, либо на верхней ветви характеристики. Случай III соответствует автоколебательному режиму. С помощью приближенного метода нетрудно убедиться, что границы между различными режимами, с точностью до ε , определяются следующими формулами:

а) две границы области автоколебаний

$$\delta = \frac{\alpha(1+\varsigma-\rho)}{\rho} \quad \text{и} \quad \delta = \sqrt{\frac{\varepsilon}{2}} \left(1 + \varsigma + \frac{\alpha^2}{9} - \rho\right) \sqrt{\frac{(1+\varsigma+\alpha^2)}{\alpha\rho^3}} \quad (3)$$

б) две границы области распространения концентрационных волн

$$\delta = \frac{4}{3} \frac{\alpha}{\rho} \left(1 + \varsigma + \frac{\alpha^2}{9} - \rho\right) \quad (4)$$

$$\delta = \frac{\varepsilon \cdot 9 (1 + \varsigma + \frac{\alpha^2}{9}) (1 + \varsigma + \frac{\alpha^2}{9} - \rho)}{8\alpha^2 \cdot \rho^2}.$$

Области возможных режимов системы (1 + 2) приведены на Рис. 1^b для случая $\rho = 1$, $\varsigma = \alpha$, $\varepsilon = 5 \cdot 10^{-3}$. Следует отметить, что формулы (3) и (4), в случае $\rho = 1$, $\varsigma = \alpha$ справедливы лишь при условии

$$\delta \approx \frac{\alpha^4}{4\varepsilon(1+\alpha)^2} \quad \text{и} \quad \alpha^4 \approx 4\varepsilon(1+\alpha)^2 \left(1 + \frac{\delta}{1.5\alpha}\right). \quad (5)$$

Нарушение этих условий означает отсутствие релаксационности в (1) и, следовательно, расчеты с помощью приближенного метода становятся неверными. Примерная граница применимости расчетов показана волнистой штрих-пунктирной линией на Рис. 1. Вероятный вид интересующих нас областей параметров за этой границей показан

штриховой линией. Для сопоставления модельных расчетов и экспериментальных данных необходимо подобрать соответствующие зависимости $\alpha = \alpha(A, B, C)$; $\delta = \delta(A, B, C)$ и $\epsilon = \epsilon(A, B, C)$.

Если, например, эти функции взять из работы [1] ($\epsilon = 0,005$; $\alpha = 1,25 \frac{B(A + 0,1)}{A}$; $\delta = \frac{0,5 B}{A(1 + B^2)}$)

то вид областей различных режимов получается такой, как на Рис. 2^a. В частности, граница области автоколебаний достаточно точно совпадает с результатами работы [1] (штрих-пунктир на Рис. 2^a). Кроме того расчет предсказывает область концентраций исходных веществ, где возможно распространение волн. Сопоставление этих результатов с экспериментальными данными позволило бы судить о точности построенной в [2] модели (к сожалению, наблюдение воли в цепевой системе [2] связано с определенными трудностями, поэтому такие измерения пока не приведены). Полученные аналитические формулы позволяют проследить влияние небольших изменений в зависимостях $\alpha = \alpha(A, B)$ и $\delta = \delta(A, B)$ на характер границ различных режимов. Так, например, в модели для цепевой системы незначительные вариации параметров в функциях α и δ дают сильную деформацию областей параметров (см. Рис. 2^b и Рис. 2^c).

§ 4. Зависимость скорости концентрационных волн от параметров системы.

Найдем скорость распространения возмущений в системе (1). Как указывалось в [3], скорость импульса в сильно релаксационной системе определяется скоростью фронта возбуждения, и находится из одного только первого уравнения системы (1) при $V = \text{const}$. Кроме того квадратичная функция $f(u, V)$ записана в виде полинома третьей степени, и, следовательно, зависимость скорости от V может быть записана в аналитическом виде [4]

$$u(V) = \sqrt{\frac{V}{2}} \left(3\sqrt{\frac{f}{V}} - (1+s) \right) - \alpha. \quad (6)$$

Из этой формулы следует, что такой важный параметр для распределенной системы как V_{kp} , определяющий место остановки концентрационных волн, находится из следующего выражения $V_{kp} = \rho / (1 + S + \alpha^2/g)$. Зависимость скорости волны $a = a(V)$ от величины медленной переменной показана на Рис. 3 для случая $\alpha = 1$. Характерные зависимости скорости волны в цериевой системе от концентраций веществ А и В приведены на Рис. 4 в случае, когда значение V в волне возбуждения близко к $V_{max} = \rho / (1 + S)$ или $V_{min} = \rho / (1 + S + \alpha^2)$.

Этот случай реализуется либо при $V_p \approx V_{max}$ или $V_p \approx V_{min}$, либо когда частота возбуждения волн в автоколебательной системе немного превышает частоту собственных автоколебаний. Как уже говорилось, измерение скорости волн от А и В в цериевой системе пока не проводилось. Такие измерения были приведены для системы, где в качестве катализатора использовались комплексные ионы железа [5], но для такой системы не построена даже сосредоточенная модель и функции $\alpha(A, B)$ и $\chi(A, B)$ не известны. Поэтому точного сравнения провести пока нельзя. Однако характер экспериментальных кривых $Q = Q|_{B=const}(A)$ и $Q = Q|_{A=const}(B)$ при соответствующих концентрациях В и А аналогичен графикам на Рис. 4.

8.5. Связь между некоторыми параметрами импульса и зависимостью $\alpha = \alpha(V)$.

Рассмотрим систему, в которой волны возбуждаются внешним источником с более высокой частотой, чем частота собственных автоколебаний. Покажем, при этом, как меняется форма стационарной волны. Процесс формирования такой стационарной волны происходит аналогично процессу формирования одиночного импульса возбуждения [3]. Скорости фронта и спада каждого импульса определяются значениями медленной переменной, и в стационарной волне эти скорости должны быть равны, то есть

$|a(V_1)| = |a(V_2)|$, где V_1 и V_2 - максимальное и минимальное значения медленной переменной (Рис. 5)

в стационарной волне. Определение V_1 , по известной величине V_2 или наоборот проводится с помощью зависимости $\Omega = \alpha(V)$. Времена τ_1 и τ_2 (см. рис. 5) определяются из выражений

$$\begin{aligned} \tau_1 &= \frac{1}{\gamma} \ln \frac{V_1}{V_2} \\ \tau_2 &= \int_{V_2}^{V_1} dV / \left[(\alpha + \sqrt{\frac{P}{V} - 1 - S}) (1 - V) - \gamma V \right]. \end{aligned} \quad (7)$$

Естественно, что сумма времен τ_1 и τ_2 должна быть равна T — периоду волн, возбужденных в системе. Таким образом, из зависимости $\Omega = \alpha(V)$ и формул (7) находятся зависимости $\tau_1(T)$, $\tau_2(T)$, $\alpha(T)$, которые могут быть изменены в эксперименте. В качестве примера такие зависимости приведены на рис. 5 при $A = 0,1$ и $B = 0,18$ ($\alpha = 1$). На том же рисунке приведено изменение формы стационарной волны в зависимости от периода возбуждения.

Приведенные здесь расчеты позволили получить следующие зависимости для модели автоколебательных химических реакций; а) аналитические формулы для областей существования автоколебаний и распространения волн; б) аналитическую зависимость скорости волны окисления от параметров химической системы. Сопоставление таких зависимостей с экспериментальными данными должно дать более подробную информацию о нелинейных характеристиках (2) для каждой из автоколебательных реакций, описываемых модельными уравнениями (1).

ЛИТЕРАТУРА

1. А.М.Жаботинский. Концентрационные автоколебания, М., "Наука", 1974.
2. А.М.Жаботинский, А.Н.Заикин, М.Д.Корзухин, Г.П.Крейцер. Кинетика и катализ, т. 12, вып. 3, 584 (1971).
3. Л.А.Островский, В.Г.Яхно. Биофизика, 20, вып. 3, 489, (1975).
4. В.Г.Яхно. Биофизика, 21, вып. 3, 551, (1976).
5. А.Н.Заикин. Кандидатская диссертация. Пущино на Оке, 1971.

ПОДПИСИ К РИСУНКАМ

- Рис. 1. а) Фазовые плоскости модели (1) при различных положениях точки равновесия U_p, V_p :
 б) Области параметров α, δ соответствующие различным режимам в системе при $\varepsilon = 0,005$.

Рис. 2. Концентрации веществ A и B, соответствующие автоколебаниям (сложная линия), распространению концентрационных волн (штриховая линия)

$$a) \quad \alpha = 1,25 \frac{\sqrt{B}(A+0,1)}{A} ; \quad \delta = \frac{0,5 B}{A(1+B^2)}$$

$$b) \quad \alpha = 1,25 \frac{\sqrt{B}(A+0,06)}{A} ; \quad \delta = \frac{0,5 B}{A(1+B^2)}$$

$$b) \quad \alpha = \frac{\sqrt{B}(A+0,1)}{A} ; \quad \delta = \frac{0,7 B}{A(1+B^2)}$$

Рис. 3. Скорость фронта возбуждения в зависимости от величины V при $\alpha = 1$.

Рис. 4. Зависимость скорости волны от концентраций A и B в случае

$$\alpha = 1,25 \sqrt{B} \frac{(A+0,1)}{A}$$

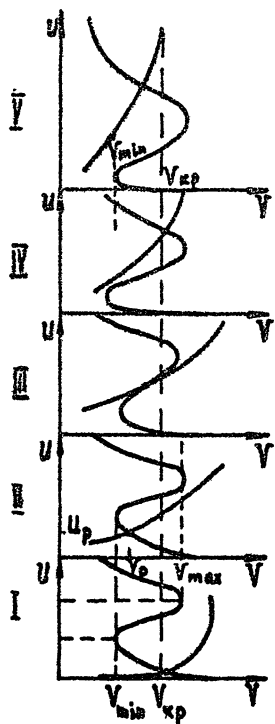
$$a) \quad V \approx V_{min} \quad b) \quad V \approx V_{max}$$

Рис. 5. Параметры и форма стационарной волны в зависимости от периода возбуждения.

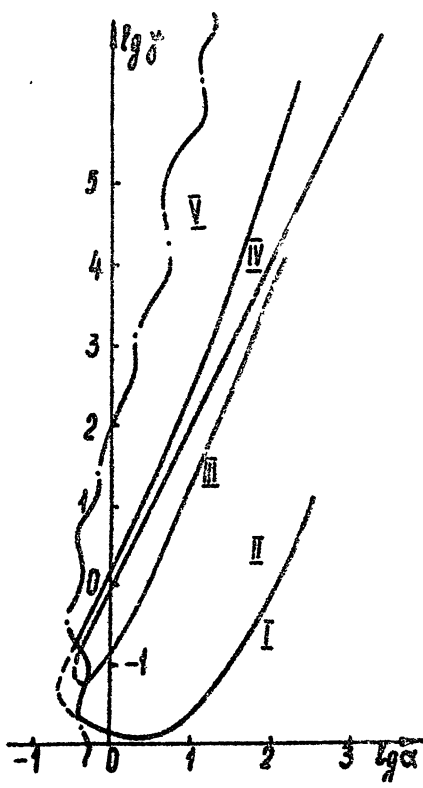
$$1 - \tau_1 = \tau_1(T) ; \quad 2 - \tau_2 = \tau_2(T) ; \quad 3 - a = a(T)$$

— — — — — изменение концентрации U

- - - - - изменение концентрации V .

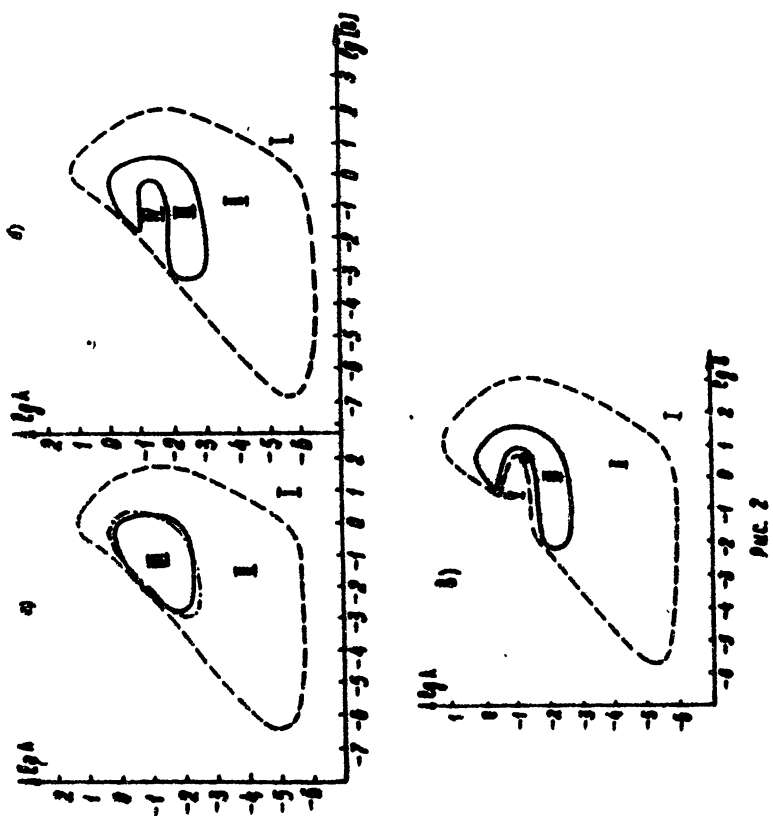


a)



b)

Рис 1



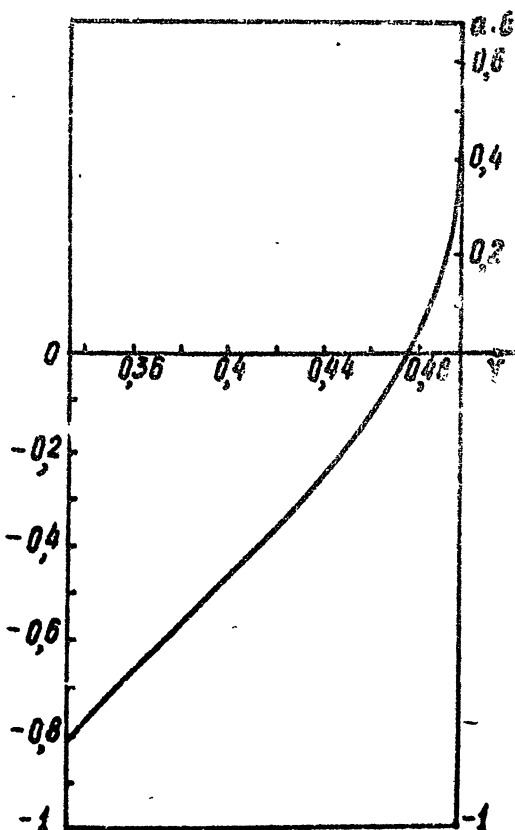


Рис. 3

Fig. 1

